

讲课纲要

✂ 光的几何描述及几何光学成像

✂ 光的电磁波描述及叠加原理

光的电磁波理论（光波是满足麦克斯韦方程组的解）

光波的叠加原理（惠更斯-菲涅耳原理）

振动方向相互垂直的两光波的叠加—偏振态的形成

光在界面反射、折射的电磁行为（Fresnel 公式）

✂ 光的干涉

✂ 光的衍射

✂ 光在晶体中的传播

✂ 光的吸收、色散、散射

✂ 光的量子性与激光

光的吸收、色散、散射

光与物质相互作用

色散：介质中光速与光频或光波长有关
---折射率实部

吸收：光的强度随传播距离而减少（真吸收）
----折射率的虚部

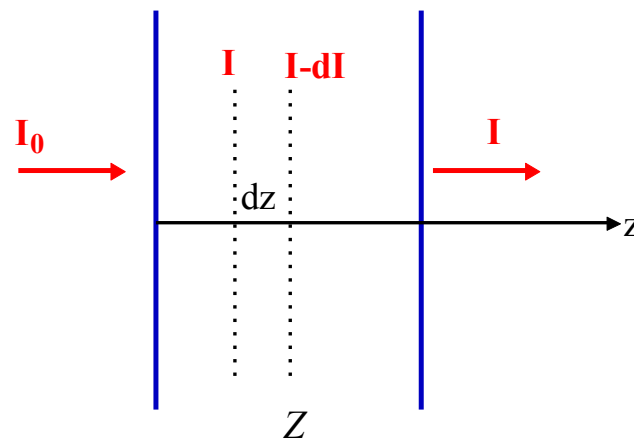
散射：介质的不均匀性

电动力学--带电粒子与电磁场的作用--散射、色散、吸收

线性吸收规律

$$-dI = \alpha I dz \quad \alpha \text{ 与 } I \text{ 无关}$$

$$I(z) = I_0 e^{-\alpha(\lambda)z} \quad \text{---朗伯定律}$$



比尔（Beer）定律

$$I = I_0 e^{-ACl} \quad \alpha = AC$$

C 溶液浓度， A 与浓度无关的常数，取决于吸收物质的分子特性

比尔定律在每个分子的吸收本领不受周围邻近分子影响时成立

普遍吸收 介质吸收无波长选择性

空气、纯净的水在可见光范围

选择吸收 是介质的普遍属性

选择性吸收是物体呈现颜色的主要原因

体色：物体由于选择吸收而呈现的颜色。

表面色：由于物体表面的选择反射形成

“大气窗口”：可见、紫外(>300nm)、狭窄的红外波段

紫外告警

棱镜、透镜

紫外：石英

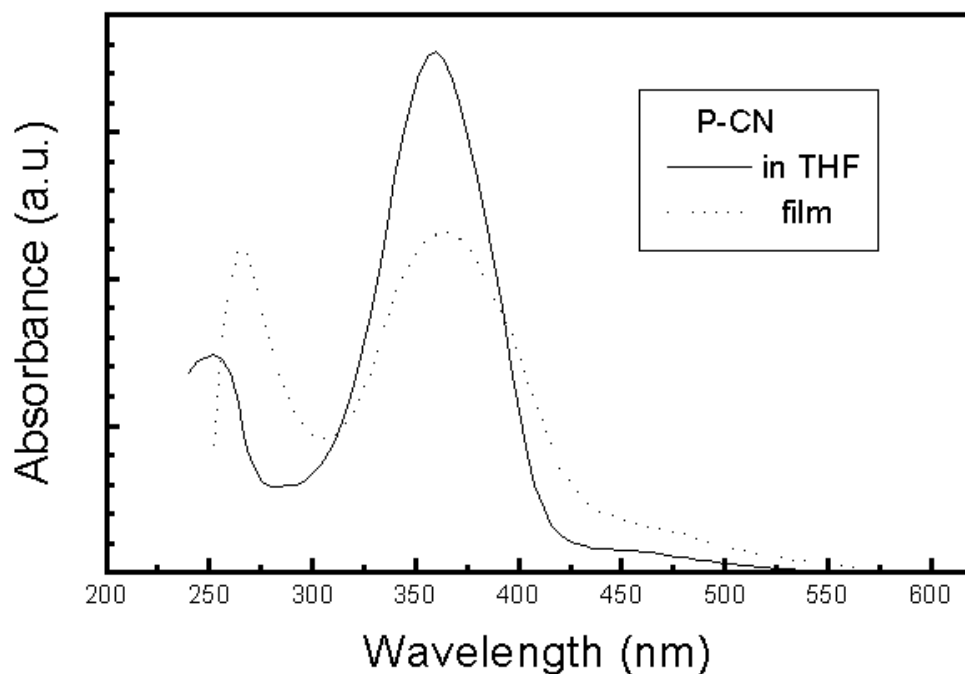
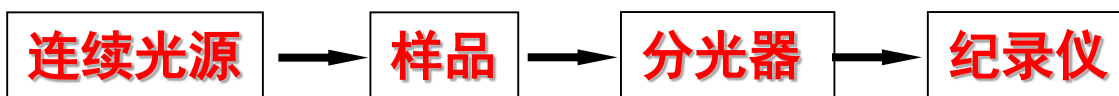
红外：卤化物晶体

选择吸收



吸收光谱

物质对不同波长的光吸收情况



考虑介质的吸收，介质的光学性能需由折射率 n 吸收系数 α 两参数来反映
—复数折射率 \tilde{n}

$$\tilde{E} = \tilde{E}_0 \exp[-i(\omega t - kz)] = \tilde{E}_0 \exp[-i(\omega t - \frac{\omega}{c} nz)]$$

$$\tilde{n} = n + i\kappa$$

$$\tilde{E} = \tilde{E}_0 \exp[-i(\omega t - \frac{\omega}{c} \tilde{n}z)]$$

$$= \tilde{E}_0 e^{-\frac{\omega\kappa}{c}z} \exp[-i(\omega t - \frac{\omega}{c} nz)]$$

$$I \propto \tilde{E}\tilde{E}^* = |E_0|^2 e^{-2\frac{\omega\kappa}{c}z} \quad I = I_0 e^{-\alpha z} \quad \alpha = 2\frac{\omega\kappa}{c}$$

复折射率的实部决定了介质中的光速 $v=c/n$ ，虚部反映了介质对光的吸收

色散

介质的折射率随波长而改变的现象

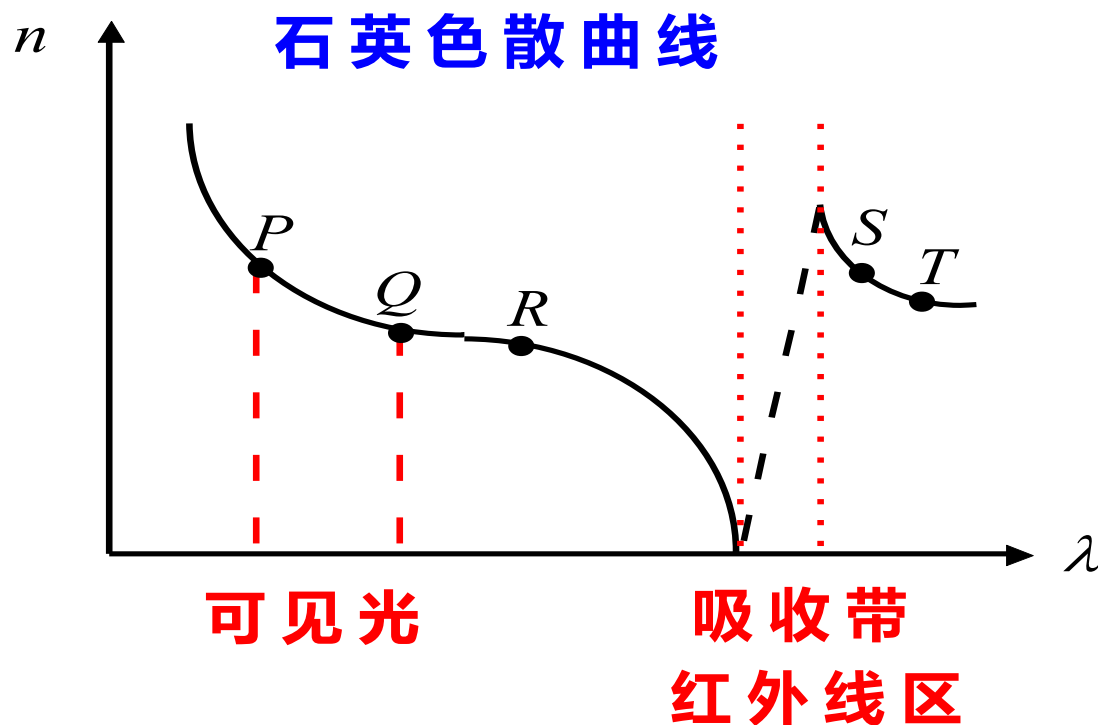
正常色散 $n(\lambda)$ 随波长的增加而减少 $\frac{dn}{d\lambda} < 0$

棱镜色散光谱

科希公式
$$n = A + \frac{B}{\lambda^2} + \frac{C}{\lambda^4}$$

A, B, C 与物质有关的（正）常数值

$$n = A + \frac{B}{\lambda^2} \quad \frac{dn}{d\lambda} = -\frac{2B}{\lambda^3}$$



反常色散 $n(\lambda)$ 随波长的增加而增加 $\frac{dn}{d\lambda} > 0$

反常色散是任何物质在吸收线（或吸收带）附件所共有的现象

经典的色散理论可以成功地解释科希色散公式、反常色散特征和吸收等

经典的色散理论（经典偶极振子模型）

求解束缚电子受迫振动方程

束缚电子的偶极矩 $\mathbf{p} \rightarrow$ 极化强度矢量 $\mathbf{P} \rightarrow$

线性极化率 $\chi(\omega) \rightarrow$ 折射率 $\tilde{n}(\omega)$

$$\vec{D} = \epsilon \vec{E} = \epsilon_0 \vec{E} + \vec{P} \quad \vec{P} = (\epsilon - \epsilon_0) \vec{E} = \epsilon_0 \chi \vec{E} \quad \tilde{n} = \sqrt{\epsilon_r} = \sqrt{1 + \chi}$$

从而给出介质的色散关系和吸收特性

群速

折射率 n 作为介质一个重要的光学参数

可由两种方法测量：

$$\frac{n_2}{n_1} = \frac{\sin \theta_1}{\sin \theta_2} \text{ (折射率法)} \quad \frac{n_2}{n_1} = \frac{V_1}{V_2} \text{ (速度法)}$$

1885年迈克尔逊用钠黄光测定了液体 CS_2 的折射率（相对空气）

$$\left(\frac{n_2}{n_1}\right)_V = 1.758 \quad \left(\frac{n_2}{n_1}\right)_\theta = 1.64 \quad ? \text{ 7\%}$$

瑞利→“群速”

测量→“群速”

折射率→“相速”

非单色波相当于许多单色波的迭加 \leftrightarrow (有限波列) ——波包

两列波 两列波的频率（波长）很接近

$$E_1(z, t) = A \cos(\omega_1 t - k_1 z)$$

$$E_2(z, t) = A \cos(\omega_2 t - k_2 z)$$

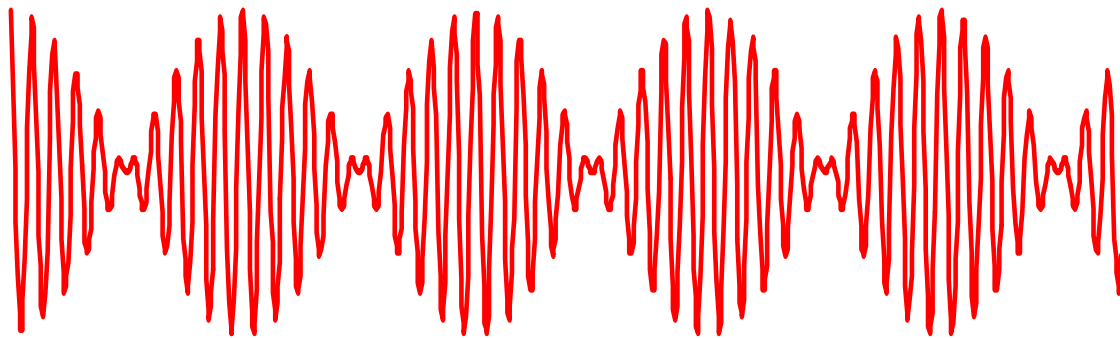
$$E(z, t) = E_1(z, t) + E_2(z, t)$$

$$= 2A \cos(\Delta \omega t - \Delta k z) \cos(\omega_0 t - k_0 z)$$

$$k_0 = (k_1 + k_2)/2, \omega_0 = (\omega_1 + \omega_2)/2$$

$$\Delta k = (k_1 - k_2)/2, \Delta \omega = (\omega_1 - \omega_2)/2$$

$$E(z, t) = 2A \cos(\Delta\omega t - \Delta k z) \cos(\omega_0 t - k_0 z)$$



高频波的传播速度 \cong 每一单色波的传播速度,相当“波包”的相速度

$$V_p = \frac{\omega_0}{k_0}$$

低频包络中心(振幅最大的地方)的传播速度就是“波包”的群速

$$V_g = \frac{\Delta\omega}{\Delta k} = \frac{d\omega}{dk}$$

当波包通过有色散的介质时,它的各个单色分量将以不同的相速度前进,整个波包在向前传播的同时,形状亦随之改变

群速和相速的关系式

$$\omega = kV_p$$

$$V_g = \frac{d\omega}{dk} = V_p + k \frac{dV_p}{dk}$$

$$k = \frac{2\pi}{\lambda}, dk = -\frac{2\pi}{\lambda^2} d\lambda$$

$$V_g = V_p - \lambda \frac{dV_p}{d\lambda}$$

$$V_p = \frac{c}{n}, dV_p = -\frac{c}{n^2} dn$$

$$V_g = \frac{c}{n} \left(1 + \frac{\lambda}{n} \frac{dn}{d\lambda} \right)$$

$$\text{正常色散, } \frac{dn}{d\lambda} < 0 \leftrightarrow \frac{dV_p}{d\lambda} > 0 \leftrightarrow \frac{dV_p}{dk} < 0$$

$$V_g < V_p$$

$$\text{反常色散, } \frac{dn}{d\lambda} > 0 \leftrightarrow \frac{dV_p}{d\lambda} < 0 \leftrightarrow \frac{dV_p}{dk} > 0$$

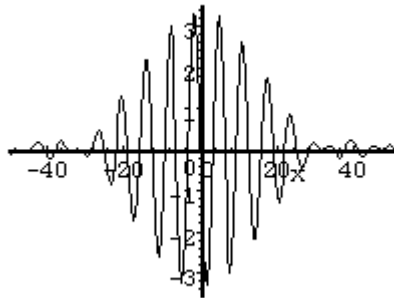
$$V_g > V_p$$

V_p, λ, n 取中心值或平均值

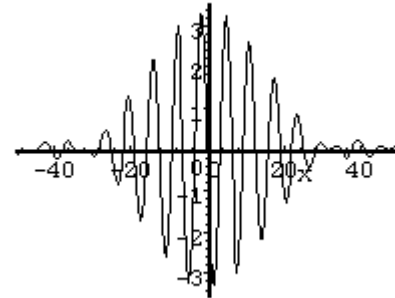
无色散

$$V_g = V_p$$

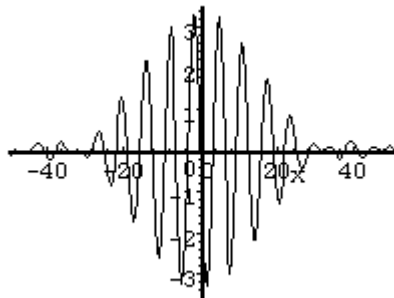
Group velocity (v_g) vs. phase velocity (v_ϕ)



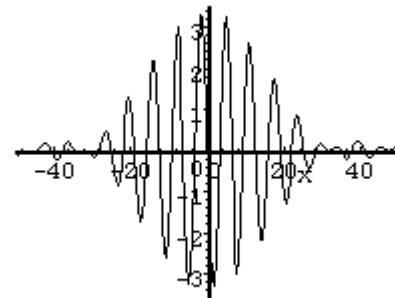
$$V_g < V_\phi$$



$$V_g = V_\phi$$



$$V_g > V_\phi$$



$$V_g = -V_\phi$$

再看用**钠黄光**对液体CS₂折射率作**精确**的测定（相对空气）：

$$\lambda_1 = 5890 \overset{o}{\text{\AA}}; \lambda_2 = 5896 \overset{o}{\text{\AA}} \rightarrow \lambda = 5893 \overset{o}{\text{\AA}}$$

$$\left(\frac{n_2}{n_1}\right)_\theta = 1.624 \qquad \left(\frac{n_2}{n_1}\right)_V = 1.722$$

$$V_g = \frac{c}{n} \left(1 + \frac{\lambda}{n} \frac{dn}{d\lambda}\right)$$

$$\frac{V_1}{V_2} = \frac{c}{V_g} = \left(n + \lambda \frac{dn}{d\lambda}\right)^{-1} \approx n - \lambda \frac{dn}{d\lambda} \qquad \lambda \frac{dn}{d\lambda} = -0.102$$

$$= 1.624 + 0.102$$

$$= 1.726$$

散射

散射现象

光束（激光束、放电影等）

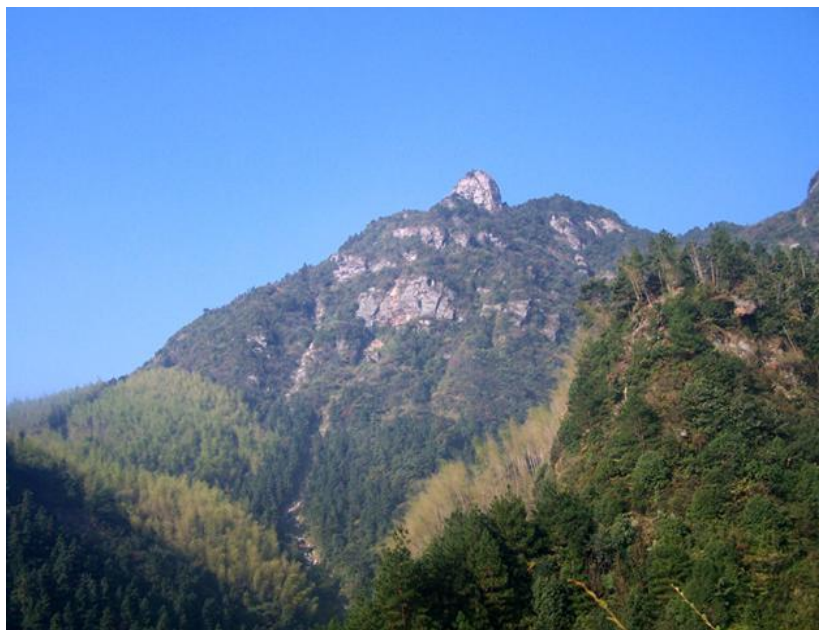
蓝天、白云、红太阳

白色的浪花

散射的生成及其特点与介质不均匀性的尺度有密切的关系

1、分子散射

2、颗粒散射



《望庐山瀑布》

日照香炉生紫烟，遥看瀑布挂前川。
飞流直下三千尺，疑是银河落九天。



莱克格斯杯

LYCURGUS CUP, a Roman goblet dating from the fourth century A.D., changes color because of the plasmonic excitation of metallic particles within the glass matrix. When a light source is placed inside the normally greenish goblet, it looks red.

瑞利散射定律

散射体的尺度比光波小

$$ka < 0.3 \leftrightarrow a < \lambda/20$$

$$I(\omega) \propto \omega^4 \propto \frac{1}{\lambda^4}$$

蓝天、红太阳

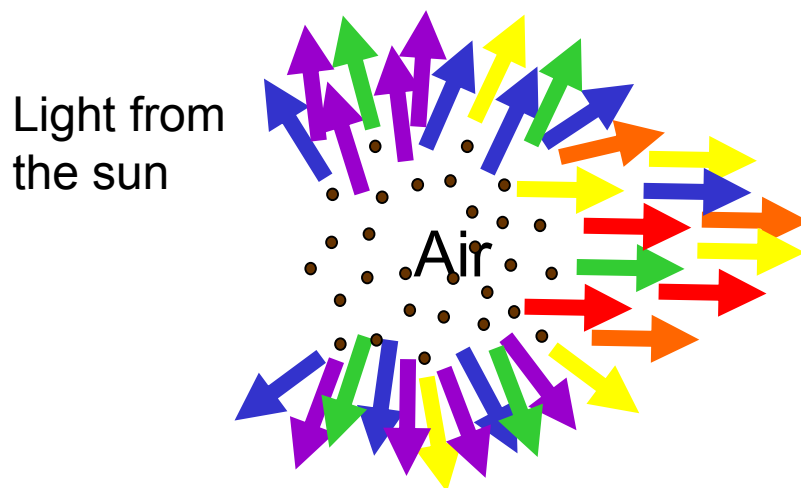


米散射

较大微粒的散射

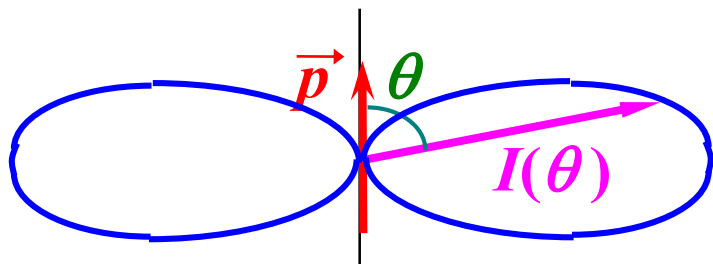
$$ka > 30 \leftrightarrow a > 20\lambda$$

无波长依赖性



白色的浪花，白云

散射光的产生

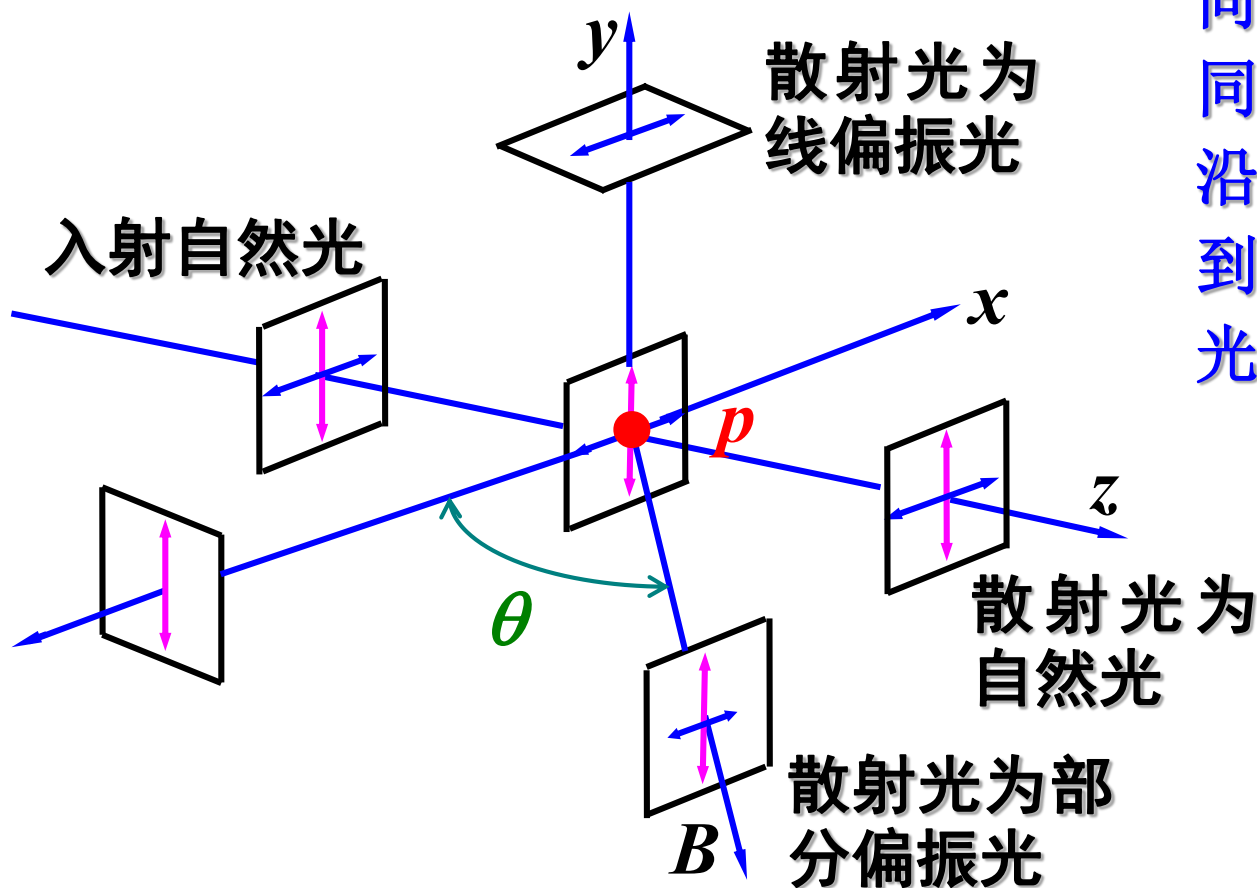


振荡电偶极子电磁
辐射强度的角分布

在入射光的激励下，**媒质分子中的电子作受迫振动**。这可视之为振动的电偶极子，它向周围辐射电磁波（子波）

由于**媒质不均匀**等原因，**破坏了子波波源之间的确定相位关系**，它们发的子波的**非相干叠加**，就形成了各方向都有的**散射光**。

散射光的偏振态



P 处发出的不同方向的偶极辐射有不同的偏振情况。

沿 $B \rightarrow P$ 方向观察到的只是部分偏振光，随 θ 角而变。

天空大气散射的日光就是部分偏振光。

喇曼散射

散射光中除有入射光原频率的瑞利散射，还有其他频率

$$\omega = \omega_0 \pm \omega_j$$

“-”斯托克斯线； “+” 反斯托克斯线

ω_j 与散射物质的红外吸收频率对应，是分子的振动频率

是研究分子结构的一种重要方法

$$\vec{p} = \alpha \varepsilon_0 \vec{E}, \alpha \text{ 分子极化率} \quad \vec{E} = E_0 \cos \omega_0 t$$

$$\alpha = \alpha_0 + \alpha_j \cos \omega_j t$$

$$p = \alpha \varepsilon_0 E_0 \cos \omega_0 t + \frac{1}{2} \alpha_j \varepsilon_0 E_0 [\cos(\omega_0 - \omega_j)t + \cos(\omega_0 + \omega_j)t]$$

瑞利散射不改变原入射光的频率